

МИНИСТЕРСТВО ОБРАЗОВАНИЯ И НАУКИ РОССИЙСКОЙ ФЕДЕРАЦИИ  
федеральное государственное автономное образовательное учреждение высшего  
образования

«САНКТ-ПЕТЕРБУРГСКИЙ ГОСУДАРСТВЕННЫЙ УНИВЕРСИТЕТ  
АЭРОКОСМИЧЕСКОГО ПРИБОРОСТРОЕНИЯ»

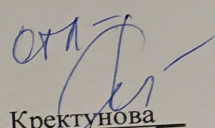
КАФЕДРА №3

ОТЧЕТ  
ЗАЩИЩЕН С ОЦЕНКОЙ

ПРЕПОДАВАТЕЛЬ

доц., канд. техн. наук  
Должность, уч. степень,  
звание

\_\_\_\_\_  
подпись, дата

  
И.П. Кректунова  
инициалы, фамилия

ОТЧЕТ О ЛАБОРАТОРНОЙ РАБОТЕ №3


«ОПРЕДЕЛЕНИЕ ГОРИЗОНТАЛЬНОЙ СОСТАВЛЯЮЩЕЙ МАГНИТНОГО ПОЛЯ  
ЗЕМЛИ»

[vk.com/id446425943](https://vk.com/id446425943)  
[vk.com/club152685050](https://vk.com/club152685050)

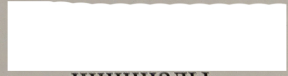
По курсу: Общая физика

Работу выполнил студент

Группы № 2741

  
\_\_\_\_\_  
подпись, дата

14.09.18

  
инициалы,  
фамилия

г. Санкт-Петербург

2018



1. Цель работы: определение горизонтальной составляющей напряженности магнитного поля Земли

# Лабораторная работа №3

## Определение горизонтальной составляющей магнитного поля Земли

Протокол измерений

Студент группы 2441

Преподаватель

Крестьянова И.П.

### Параметры приборов

Название прибора	Предел измерения	Цена деления	Систематическая погрешность	Класс точности
Миллиамперметр	200	5 мА/дел	2,5	1
Вольтметр	200	0,5 В/дел	0,25	2,5
Тангенс-гальванометр	360 <del>780</del>	1°/дел	0,5	

### Результаты измерений

$I, A$	$L_1$	$L_2$	$L_{cp}$	$H, A/m$
40	15	15	15	13,3
60	30	25	24,5	10,4
100	40	35	34,5	11,4

$$\alpha = 5^\circ$$

[vk.com/id446425943](https://vk.com/id446425943)

[vk.com/club152685050](https://vk.com/club152685050)



1. Цель работы: определение горизонтальной составляющей напряженности магнитного поля Земли, электрической постоянной СИ и скорости распространения электромагнитных волн в вакууме.
2. Схема установки:

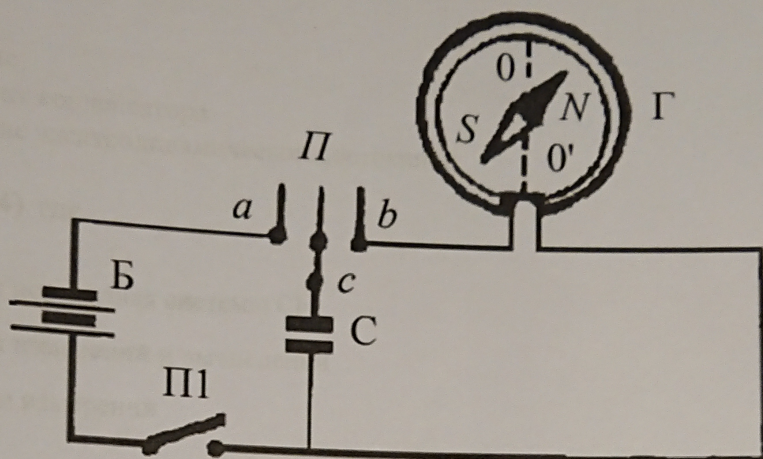


Рисунок 1. Схема установки, где

Б- источник питания;  
С-конденсатор;  
Г -тангенс-гальванометр;  
а и b-переключатели.

Параметры приборов:

Прибор	Цена деления	Класс точности	Предел измерения	Систематическая погрешность
Вольтметр	0.5 В	2.5	15 В	0.25 В
Амперметр	5 мА	1	200 мА	2.5 мА
Тангенс-гальванометр	1°	-	180°	0.5°

$R=0.2$  м;  $N=36$  витков;  $\nu=50$  Гц;  $U=12$  В

### 3. Рабочие формулы

3.1 Вычисление среднего значения угла отклонения магнитной стрелки

$$\alpha_{\text{ср}} = \frac{\alpha_1 + \dots + \alpha_n}{n} \quad (1)$$

3.2 Вычисление горизонтальной составляющей напряженности магнитного поля земли

$$H_r = \frac{IN}{2Rtga} \quad (2), \text{ где}$$

$I$ -сила тока;

$R$ -радиус витка;



N- количество витков;

$tga$ - угол отклонения стрелки

### 3.3 Вычисление электрической постоянной

$$\varepsilon_0 = \frac{2RH_{\Gamma} k * tga_1}{NvU} \quad (3), \text{ где}$$

$v$  — частота;

$U$ - напряжение;

$k$ - коэффициент конденсатора

### 3.4 Вычисление электродинамической постоянной

$$C = \frac{1}{\sqrt{\varepsilon_0 \mu_0}} \quad (4), \text{ где}$$

$\mu_0$ - магнитная постоянная системы СИ

## 4. Результаты измерений и вычислений

### 4.1 Результаты измерений

Таблица 4.1 Результаты измерений угла отклонения стрелки

I, мА	$a_1$	$a_2$	$a_{\text{ср}}$	$H_{\Gamma}$ , а/м
40	15	15	15	13,3
60	30	25	27,5	10,4
100	40	35	39,5	11,7

### 4.2 Результаты вычислений

#### 4.2.1 По формуле (1):

$$a_{\text{ср}} = \frac{40^{\circ} + 35^{\circ}}{2} = 39,5^{\circ}$$

#### 4.2.2 По формуле (2):

$$H_{\Gamma} = \frac{0,04 * 36}{2 * 0,2 * 0,27} = \frac{1,44}{0,108} = 13,3 \left( \frac{\text{А}}{\text{м}} \right)$$

#### 4.2.3 По формуле (3):

$$\varepsilon_0 = \frac{2 * 0,2 * 13,3 * 4,5 * 10^{-7} * 0,75}{36 * 50 * 12} = \frac{17,955 * 10^{-7}}{2,16 * 10^5} = 8,3 * 10^{-12} \left( \frac{\text{Ф}}{\text{м}} \right)$$

#### 4.2.4 По формуле (4):

$$C = \frac{1}{\sqrt{4 * 3,14 * 10^{-7} * 3 * 10^{-11}}} = \frac{1}{0,35 * 10^{-8}} = 2,8 * 10^8 \left( \frac{\text{М}}{\text{с}} \right)$$



5. Систематическая погрешность:

5.1 Систематическая погрешность амперметра

$$\theta_I = 2,5(\text{мА})$$

5.2 Систематическая погрешность угла

$$\theta_a = \frac{1}{2} = 0,5^\circ = 0,0175 (\text{рад})$$

5.3 Систематическая погрешность горизонтальной составляющей напряженности магнитного поля земли.

$$\begin{aligned} \theta_{H_r} &= \left| \frac{dH_r}{dI} \right| \theta_I + \left| \frac{dH}{d\alpha} \right| \theta_\alpha = \left( \frac{N}{2R * \operatorname{tg} \alpha} \right) \theta_I + \left( \frac{IN(-\operatorname{tg}^2 \alpha - 1)}{2R * \operatorname{tg}^2 \alpha} \right) \theta_\alpha = \\ &= \left( \frac{36}{2 * 0,2 * 0,767} \right) * 2 * 10^{-3} + \left( \frac{100 * 10^{-3} * 36 * (0,588 - 1)}{2 * 0,2 * 0,588} \right) * 0,0175 = \\ &= 0,235 - 0,111 = 0,124 \left( \frac{\text{А}}{\text{М}} \right) \end{aligned}$$

5.4 Систематическая погрешность электрической постоянной

$$\begin{aligned} \theta_{\epsilon_0} &= \left| \frac{d\epsilon_0}{dH_r} \right| \theta_{H_r} + \left| \frac{d\epsilon_0}{d\alpha} \right| \theta_\alpha = \frac{2Rk * \operatorname{tg} \alpha}{NvU} \theta_{H_r} + \frac{2R(\operatorname{tg}^2 \alpha + 1)H_r k}{NvU} \theta_\alpha = \\ &= \frac{2 * 0,2 * 4,5 * 10^{-7} * 0,767 * 0,124}{36 * 50 * 12} + \frac{2 * 0,2 * (0,588 + 1) * 11,7 * 4,5 * 10^{-7} * 0,0175}{36 * 50 * 12} = \\ &= \frac{(0,171 + 0,585) * 10^{-7}}{2,16 * 10^5} = \frac{0,952 * 10^{-7}}{2,16 * 10^5} = 0,5 * 10^{-12} \left( \frac{\Phi}{\text{М}} \right) \end{aligned}$$

6. Среднеквадратичное отклонение прямых измерений

$$\begin{aligned} \Delta H_r &= \sqrt{\frac{(H_{cp} - H_{r1})^2 + (H_{cp} - H_{r2})^2 + (H_{cp} - H_{r3})^2}{N(N-1)}} = \\ &= \sqrt{\frac{(11,8 - 13,3)^2 + (11,8 - 10,4)^2 + (11,8 - 11,7)^2}{6}} = 0,84 \left( \frac{\text{А}}{\text{М}} \right) \end{aligned}$$

7. Вывод

В ходе выполнения лабораторной работы, при помощи тангенс-гальванометра была определена:

- Горизонтальная составляющая напряженности магнитного поля Земли  $H_r = 11,8 \pm 0,12 \frac{\text{А}}{\text{М}}$
- Электродинамическая постоянная  $C = 2,8 * 10^8 \frac{\text{М}}{\text{с}}$
- Электрическая постоянная СИ  $\epsilon_0 = (8,3 * 10^{-12} \pm 0,5 * 10^{-12}) \frac{\Phi}{\text{М}}$

Модуль разности экспериментального и теоретического значений не превышает сумму систематических погрешностей:



$$|\varepsilon_{0\text{эксп}} - \varepsilon_{0\text{теор}}| \leq \Delta\varepsilon_0$$

























$$|8,3 - 8,8| \leq 0,5$$

Следовательно, лабораторная работа выполнена удовлетворительно.





ОТВЕТЫ --->>СКАЧАТЬ [https://archive.org/details/@guap4736\\_vkclub152685050](https://archive.org/details/@guap4736_vkclub152685050)

Имя	
	Индивидуальное задание
	ЛР исследование гистерезиса ферромагнитных материалов
	ЛР определение горизонтальной составляющей напряженности магнитного поля зе...
	ЛР определение удельного заряда электрона
	ЛР определение емкости конденсатора
	ЛР процессы установления тока при разрядке и зарядке конденсаторов
	Методички
	тест LMS 1
	Экзамен
	Бипризма Френеля 1
	Кольца Ньютона 1
	КОНТАКТЫ
	Литвинова Надежда Николаевна
	ЛР исследование магнитного поля соленоида
	ЛР кольца Ньютона
	ЛР Проверка законов теплового излучения
	Определение горизонтальной составляющей напряженности магнитного поля земли 1
	Определение горизонтальной составляющей напряженности магнитного поля земли 2
	Определение горизонтальной составляющей напряженности магнитного поля земли 3
	Определение горизонтальной составляющей напряженности магнитного поля земли 4
	Определение периода релаксационных колебаний при помощи электронного осцил...
	Определение периода релаксационных колебаний при помощи электронного осцил...
	Определение емкости конденсатора с помощью баллистического гальваном...
	Определение емкости конденсатора с помощью баллистического гальваном...

ОТВЕТЫ -->>СКАЧАТЬ [https://yadi.sk/d/PgjdK\\_eMGWoIJQ](https://yadi.sk/d/PgjdK_eMGWoIJQ)



## ОПРЕДЕЛЕНИЕ ГОРИЗОНТАЛЬНОЙ СОСТАВЛЯЮЩЕЙ НАПРЯЖЕННОСТИ МАГНИТНОГО ПОЛЯ ЗЕМЛИ

*Цель работы:* Определить с помощью тангенс-гальванометра горизонтальную составляющую напряженности магнитного поля Земли, электрическую постоянную системы СИ и скорость распространения электромагнитных волн в вакууме.

### Теоретические сведения

Направление линий напряженности магнитного поля можно определить с помощью *магнитного диполя*.

В качестве магнитного диполя может быть *виток с током*. Если виток может свободно поворачиваться вокруг закрепленной вертикальной оси, то в магнитном поле виток установится так, что нормаль к нему укажет направление горизонтальной составляющей вектора напряженности поля. Если отклонить виток в сторону от направления поля, то возникнет момент сил, стремящийся вернуть виток в исходное положение.

*Магнитная стрелка* также является магнитным диполем. Размещенная на вертикальной оси свободная стрелка устанавливается в положении устойчивого равновесия вдоль горизонтального направления магнитного поля.

Если горизонтально расположенную магнитную стрелку, способную свободно вращаться вокруг вертикальной оси, поместить в центре вертикальной круговой катушки с током (такой прибор называется тангенс-гальванометром), то на стрелку будет действовать магнитное поле Земли и магнитное поле тока.

Вектор горизонтальной составляющей магнитного поля  $\mathbf{H}$  в этом случае

$$\mathbf{H} = \mathbf{H}_r + \mathbf{H}_1, \quad (1)$$

где  $\mathbf{H}_r$  – вектор горизонтальной составляющей напряженности магнитного поля Земли,  $\mathbf{H}_1$  – вектор напряженности магнитного поля тока.

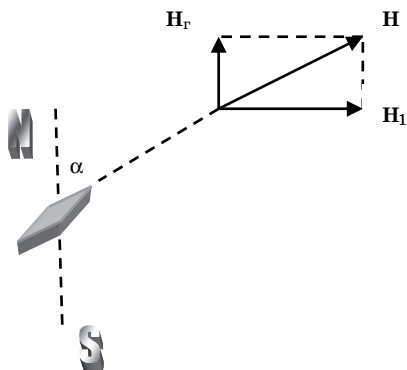
Пусть плоскость катушки совпадает с плоскостью магнитного меридиана, тогда векторы  $\mathbf{H}_r$  и  $\mathbf{H}_1$  будут взаимно перпендикулярны



в центре катушки, а тангенс угла  $\alpha$ , на который отклонится стрелка при включении тока:

$$\operatorname{tg} \alpha = \frac{H_1}{H_r}. \quad (2)$$

На рис. 1 изображена суперпозиция магнитных полей.



[vk.com/club152685050](https://vk.com/club152685050)  
[vk.com/id446425943](https://vk.com/id446425943)

Рис. 1

В центре круговой катушки с током напряженность  $H_1$  магнитного поля определяется по формуле

$$H_1 = \frac{IN}{2R}, \quad (3)$$

где  $I$  – сила тока в круговой катушке;  $N$  – число витков в ней;  $R$  – радиус каждого витка.

Из (2) и (3) можно определить горизонтальную составляющую напряженности магнитного поля Земли

$$H_r = \frac{IN}{2R \operatorname{tg} \alpha}, \quad (4)$$

а также силу тока в катушке

$$I = \frac{2RH_r \operatorname{tg} \alpha}{N}. \quad (5)$$

Таким образом, величина тока изменяется пропорционально тангенсу угла отклонения магнитной стрелки, поэтому рассматриваемый прибор и называется тангенс-гальванометром.

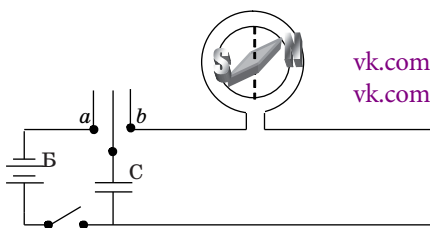


Емкость конденсатора  $C$  пропорциональна диэлектрической проницаемости вещества, заполняющего пространство между обкладками. Поэтому можно записать

$$C = K\varepsilon\varepsilon_0, \quad (6)$$

где  $\varepsilon_0$  – электрическая постоянная системы СИ;  $\varepsilon$  – относительная диэлектрическая проницаемость;  $K$  – коэффициент пропорциональности, величина которого зависит от формы и размеров обкладок конденсатора и расстояния между ними.

Электрическую постоянную системы СИ можно определить, пользуясь тангенс-гальванометром. Для этого собирают электрическую схему, включающую источник питания  $B$ , конденсатор  $C$ , тангенс-гальванометр  $\Gamma$ , электромагнитный переключатель  $a-b$  (рис. 2).



[vk.com/club152685050](https://vk.com/club152685050)  
[vk.com/id446425943](https://vk.com/id446425943)

Рис. 2

В положении переключателя  $a$  конденсатор заряжается до напряжения  $U$ , при этом на пластинах конденсатора скапливается заряд

$$q = CU = K\varepsilon\varepsilon_0 U. \quad (7)$$

В положении переключателя  $b$  конденсатор разряжается через тангенс-гальванометр. Сила тока, протекающего через тангенс-гальванометр:

$$I = \nu q = K\nu\varepsilon\varepsilon_0 U, \quad (8)$$

где  $\nu$  – число переключений в секунду переключателя  $a-b$ .

На основании формул (5) и (8) определяется электрическая постоянная системы СИ

$$\varepsilon_0 = \frac{1}{K} \cdot \frac{2RH_r \operatorname{tg} \alpha}{N\nu\varepsilon U}. \quad (9)$$

Определив  $\varepsilon_0$ , найдем электродинамическую постоянную  $c$ , численно равную скорости распространения электромагнитных волн в вакууме:



$$c = \frac{1}{\sqrt{\epsilon_0 \mu_0}}, \quad (10)$$

где  $\mu_0 = 4\pi \cdot 10^{-7} \text{ Гн/м}$  – магнитная постоянная системы СИ.

### Описание лабораторной установки

Электрическая схема установки для определения горизонтальной составляющей напряженности магнитного поля Земли приведена на рис. 3. Сила тока  $I$  через тангенс-гальванометр устанавливается с помощью реостата  $R$  и контролируется миллиамперметром мА. Число витков в катушке тангенс-гальванометра  $N = 36$ , радиус каждого витка  $R = 0,2 \text{ м}$ .

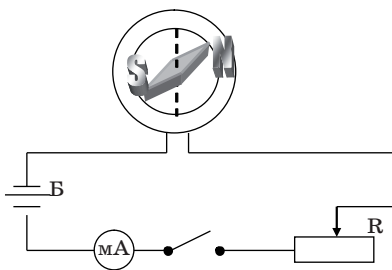


Рис. 3

Для определения электрической постоянной системы СИ собирают схему, изображенную на рис. 2. В качестве переключателя  $a-b$  используется реле, обмотка которого включается в сеть. При этом частота переключений равна частоте переменного напряжения в сети ( $\nu = 50 \text{ Гц}$ ). Конденсатор  $C$  имеет следующие параметры: относительная диэлектрическая проницаемость воздушного зазора между обкладками  $\epsilon \approx 1$ , коэффициент  $K' = 1/K = 4,5 \cdot 10^{-7} \text{ 1/м}$ .

### Порядок выполнения прямых измерений

Установить тангенс-гальванометр так, чтобы магнитная стрелка была в плоскости кольца.

**Задание 1.** Схема на рис. 3.

Включить установку.

При помощи реостата  $R$  установить ток  $I$ , при котором магнитная стрелка отклонится на угол  $30-40^\circ$ . Измерить силу тока  $I$  и угол от-



клонения стрелки  $\alpha$ . Не меняя величины тока  $I$ , изменить его направление и измерить угол отклонения стрелки  $\alpha'$ .

Опыт повторить несколько раз при различных значениях тока  $I$ .  
Результаты измерений записать в табл. 1.

Таблица 1

$I, \text{A}$	$\alpha$	$\alpha'$	$\alpha_{\text{ср}}$	$H_{\text{г}}, \text{A/м}$

**Задание 2.** Схема на рис. 2.

Включить установку и реле.

На источнике питания установить напряжение  $U$  и измерить его (рекомендуется  $U = 12\text{В}$ ). Измерить угол отклонения стрелки  $\alpha_1$ . Изменив направление тока, измерить угол отклонения стрелки  $\alpha'_1$ .

### Обработка результатов измерений

**Задание 1.**

Вычислить средние значения (по абсолютной величине)  $\alpha_{\text{ср}}$  угла отклонения магнитной стрелки при различных значениях тока  $I$  и занести в табл. 1.

По формуле (4) вычислить горизонтальную составляющую  $H_{\text{г}}$  напряженности магнитного поля Земли при различных значениях тока  $I$ . Результаты записать в табл. 1 и вычислить среднее значение  $H_{\text{гср}}$ .

**Задание 2.**

Вычислить среднее значение (по абсолютной величине)  $\alpha_{1\text{ср}}$  угла отклонения магнитной стрелки.

По формулам (9) и (10) вычислить электрическую постоянную  $\epsilon_0$  и скорость  $c$  распространения электромагнитных волн в вакууме (значение горизонтальной составляющей напряженности магнитного поля Земли  $H_{\text{г}}$  определено в предыдущем задании).

Оценить погрешности окончательных результатов.



### Контрольные вопросы

1. Каково устройство и принцип работы тангенс-гальванометра?
2. Как охарактеризовать магнитное поле, создаваемое круговым током?
3. Дайте определения магнитной индукции и напряженности магнитного поля. В каких единицах измеряются эти величины?
4. Как вывести формулу для вычисления напряженности горизонтальной составляющей магнитного поля Земли?
5. Как получается расчетная формула для определения электрической постоянной системы СИ?

[vk.com/club152685050](https://vk.com/club152685050)

[vk.com/id446425943](https://vk.com/id446425943)